

Analyse, acquisition et traitement d'image

TP1

Aurélien CHEMIER 10908892 et Romane LHOMME 11006689

27 octobre 2014

Table des matières

1	Introduction	3
2	Technologies utilisées	3
3	Détection des contours	3
3.1	Implémentation	3
3.1.1	filtre.h	4
3.1.2	Classes filles	4
3.1.3	Fonction de tri	4
3.2	Filtre de base	4
3.3	Filtrage bidirectionnel	5
3.4	Filtrage multidirectionnel	6
4	Seuillage	7
4.1	Implémentation	7
4.2	Seuillage fixe	7
4.3	Seuillage global	8
4.4	Seuillage local	8
4.5	Seuillage par Hysteresis	9
5	Affinage	10
6	Conclusion	10

1 Introduction

Dans le cadre de ce projet d'analyse d'image, nous devons implémenter une méthode de détection de contours, à l'aide des filtres vus en cours. Ensuite, une étape de traitement et d'affinage des contours sera effectuée afin d'avoir un meilleur résultat. Ce rapport a pour but de présenter et d'expliquer nos choix lors de ces différentes étapes.

2 Technologies utilisées

Ce programme de détection de contour a été fait en C++ qui est un langage objet que nous avons l'habitude d'utiliser.

Pour manipuler les images, nous avons choisi d'utiliser OpenCV, une bibliothèque graphique spécialisée dans le traitement d'image en temps réel. Cette librairie a plusieurs avantages :

- Elle est gratuite.
- Elle permet une gestion simple des images (lecture, écriture, sauvegarde...).

L'utilisation de notre programme se fait en ligne de commande.

Tous nos tests ont été fait sur l'image "Lena", un classique du traitement d'image.



FIGURE 1 – Lena

3 Détection des contours

L'étape de détection des contours se fait uniquement sur des images en niveaux de gris.

Dans un premier temps, on procède au calcul du vecteur gradient en chaque point de l'image. La méthode demandée consiste à appliquer des opérateurs (ou masques) de convolution (tableau $M \times M$).

Pour chaque Pixel de l'image, on fait la somme du produit des pixels voisins avec la case du filtre correspondante, comme le montre le code suivant.

Listing 1 – filtre.h

```
for (i = 0; i < 3; ++i)
{
    for (j = 0; j < 3; ++j)
    {
        gradient += p[i][j] * Filtre[i][j];
    }
}
```

Le pixel sur lequel s'applique le filtre se situe au milieu de celui ci, ici en position 1,1.

Le gradient est ensuite normalisé entre 0 et 255 et devient la valeur du pixel courant dans l'image filtrée.

Tous les filtres appliqués dans ce TP sont de dimension 3×3 .

3.1 Implémentation

Pour coder ces filtres, nous avons une classe mère filtre.h.

3.1.1 filtre.h

Listing 2 – Classe filtre

```
class filtre
{
private:
    std::vector<std::vector<int> > GV; //filtre vertical
    std::vector<std::vector<int> > GH; //filtre horizontal
    std::vector<std::vector<int> > Diag; //filtre diagonal

    //utile pour l'affinage des points
    //gradients horizontaux
    std::vector<std::vector<int> > filtreH;
    //gradients verticaux
    std::vector<std::vector<int> > filtreV;

    //image modele
    IplImage img;

    //les dimensions de l'image
    unsigned int nbLigne;
    unsigned int nbColonne;
};
```

La classe contient également des getters et des setters pour accéder à ses différents éléments. Les différents algorithmes de tris sont également dans la classe filtre.

3.1.2 Classes filles

Les classes filles héritent de filtre.h et permettent d'initialiser les masques horizontaux, verticaux et diagonaux avec les valeurs correspondantes au filtre utilisé.

3.1.3 Fonction de tri

Les différentes fonctions de tri fonctionnent sur le même schéma :

- La fonction s'applique sur l'image stocké dans le filtre.
- Elle retourne une image de même dimension que l'image modèle.

3.2 Filtre de base

— Prewitt

$$\text{horizontal} \begin{pmatrix} 1 & 0 & -1 \\ 1 & 0 & -1 \\ 1 & 0 & -1 \end{pmatrix} \quad \text{vertical} \begin{pmatrix} 1 & 1 & 1 \\ 0 & 0 & 0 \\ -1 & -1 & -1 \end{pmatrix}$$

— Sobel

$$\text{horizontal} \begin{pmatrix} 1 & 0 & -1 \\ 2 & 0 & -2 \\ 1 & 0 & -1 \end{pmatrix} \quad \text{vertical} \begin{pmatrix} 1 & 2 & 1 \\ 0 & 0 & 0 \\ -1 & -2 & -1 \end{pmatrix}$$

— Kirsch

$$\text{horizontal} \begin{pmatrix} -3 & -3 & 5 \\ -3 & 0 & 5 \\ -3 & -3 & 5 \end{pmatrix} \quad \text{vertical} \begin{pmatrix} -3 & -3 & -3 \\ -3 & 0 & -3 \\ 5 & 5 & 5 \end{pmatrix}$$

— D'autres masques peuvent être utilisés.

Ces différents filtres appliqués à Lena donnent :

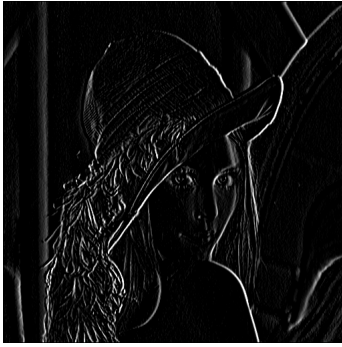


FIGURE 2 – Prewitt Horizontal



FIGURE 4 – Sobel Horizontal



FIGURE 6 – Kirsh Horizontal

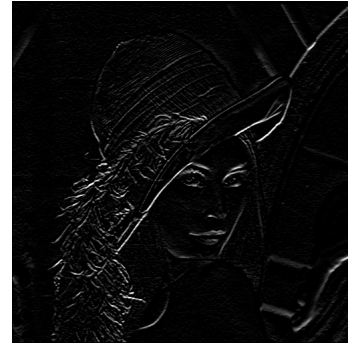


FIGURE 3 – Prewitt Vertical



FIGURE 5 – Sobel Vertical



FIGURE 7 – Kirsh Vertical

La complexité de cette méthode est de l'ordre

$$w \times h$$

avec :

- w la largeur de l'image,
- h la hauteur de l'image.

3.3 Filtrage bidirectionnel

Le filtrage bidirectionnel consiste à appliquer deux masque de convolutions sur la même image. La valeur du gradient devient :

$$G = \sqrt{GV^2 + GH^2}$$

Avec

- G le gradient du filtre bidirectionnel,
- GV le gradient du filtre vertical,
- GH le gradient du filtre horizontal.

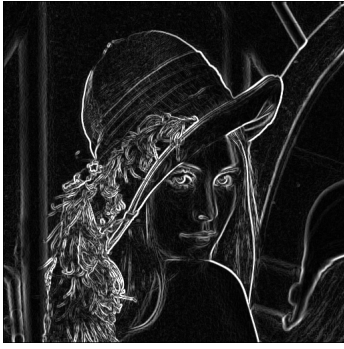


FIGURE 8 – Prewitt Bidirectionnel

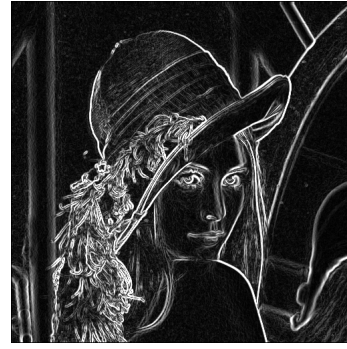


FIGURE 9 – Sobel Bidirectionnel



FIGURE 10 – Kirsh Bidirectionnel

L'avantage de cette méthode est que seul 2 filtres sont nécessaires pour calculer le gradient en 1 point. Cependant elle peut être plus sensible au bruit que la méthode multidirectionnelle.

Comme les deux filtres sont calculé sur le même de l'image, la complexité est également de

$$w \times h$$

3.4 Filtrage multidirectionnel

Pour le calcul du filtre multidirectionnel deux masques diagonaux sont rajoutés, voici ceux du filtre de Prewitt :

$$\text{Diagonal gauche} \begin{pmatrix} 1 & 1 & 0 \\ 1 & 0 & -1 \\ 0 & -1 & -1 \end{pmatrix} \quad \text{Diagonal droite} \begin{pmatrix} 0 & 1 & 1 \\ -1 & 0 & 1 \\ -1 & -1 & 0 \end{pmatrix}$$

Ces filtres donnent :

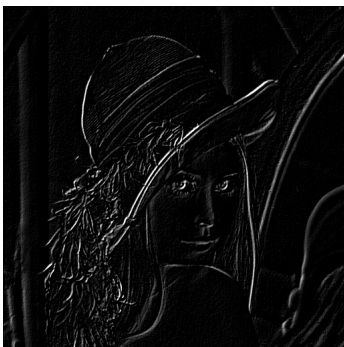


FIGURE 11 – Prewitt Diagonal Gauche

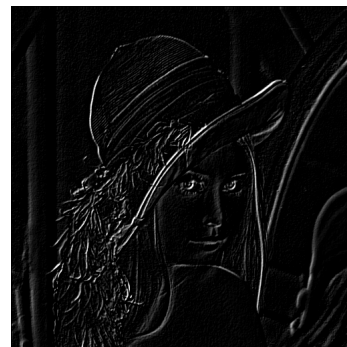


FIGURE 12 – Prewitt Diagonal Droite

Le filtre multidirectionnel calcule donc un filtre bidirectionnel avec les filtres diagonaux correspondants.

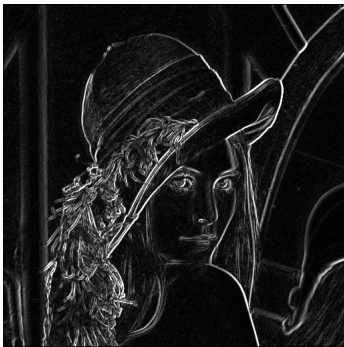


FIGURE 13 – Prewitt Multidirectionnel

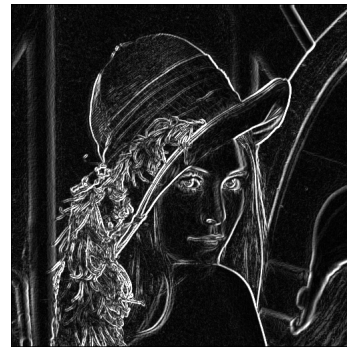


FIGURE 14 – Sobel Multidirectionnel



FIGURE 15 – Kirsh Multidirectionnel

Le calcul des masques se faisant toujours en un seul passage sur l'image, la complexité ne change pas.

L'utilisation de plus de filtre permet de réduire le bruit sur la détection des contours. Néanmoins, ce bruit est toujours présent, c'est pourquoi il faut passer à l'étape du seuillage.

4 Seuillage

Le seuillage consiste à "filtrer" les pixels de l'image filtrée en fonction d'un seuil. Si la valeur du pixel courant est inférieure au seuil, elle est passée à 0, sinon elle prend la valeur maximale (ici 255).

Celui-ci peut être déterminé de plusieurs manières.

4.1 Implémentation

Pour le seuillage, il n'y a qu'une seule classe seuillage qui contient l'image filtrée et l'image seuillée avec laquelle celle-ci soit affinée.

Les différentes fonctions de seuillage retournent une image et ne prennent aucun argument (sauf `seuilFixe()` et `SeuilHysteresis()` qui prennent les valeurs des seuils comme expliqué ci-dessous. (voir 4.2 et 4.5)).

4.2 Seuillage fixe

Le seuil S est fixé et est commun à toute l'image. néanmoins il faut choisir une bonne valeur pour avoir un résultat correct.

Les exemples ci-dessous ont été calculés sur un filtre de Prewitt multidirectionnel.

FIGURE 16 – $S = 20$ FIGURE 17 – $S = 50$ FIGURE 18 – $S = 70$ FIGURE 19 – $S = 100$ FIGURE 20 – $S = 150$ FIGURE 21 – $S = 200$

Pour des seuils très bas, on remarque bien que le bruit est important (figure 16). Au contraire, dans le cas de seuil élevé, certains contours sont effacés et l'image perd en précision (figure 20 et 21).

La complexité de cette méthode est de

$$w \times h$$

4.3 Seuillage global

Nous venons de voir que le choix du seuil est crucial dans le seuillage de l'image. Il est rapidement contraignant de chercher "à la main" le seuil optimal pour une image. Le seuillage global permet de déterminer un seuil pour une image : il calcule la valeur moyenne des gradients de l'image et prend cette moyenne comme seuil.



FIGURE 22 – Seuillage Global de Prewitt multidirectionnel

La complexité est plus grande car on effectue deux parcours de l'image :

$$2 \times w \times x$$

L'image contenant beaucoup de nuances de gris comme contours, le résultat contient beaucoup de "bruit" dans les contours.

4.4 Seuillage local

Le seuillage local calcule la moyenne des pixels voisins au pixel courant. Une fois cette moyenne calculée, on la compare avec le pixel courant.



FIGURE 23 – Seuillage Local de Prewitt multidirectionnel

Le résultat est bruité mais celui-ci a une précision supérieure à celle du seuil global. En effet, on retrouve toutes les courbes intactes dans l'image seuillée.

La complexité est plus élevée à cause du calcul systématique de la moyenne locale :

$$l^2 \times w \times x$$

avec l la taille de la zone où est calculé la moyenne.

4.5 Seuillage par Hysteresis

Dans le cas d'un seuillage par hysteresis, on utilise deux seuils, un seuil Bas S_b et un seuil haut S_h .

```
Si Pixel_courant < Sb alors Pixel_courant = 0
Sinon Si Pixel_courant > Sh alors Pixel_courant = 255
Sinon Si un voisin de Pixel_courant = 255 alors Pixel_courant = 255
    Sinon Pixel_courant = 0
```

FIGURE 24 – Seuillage Hysteresis de Prewitt multidirectionnel ($S_b = 44$, $S_h = 60$)

Cet algorithme permet de réduire le bruit et les trous dans les contours et donne d'excellents résultats.

La difficulté de cette méthode est dans le choix des valeurs de S_b et S_h . Les mêmes problèmes que le seuillage fixe peuvent se produire. (voir 4.2).

La complexité de cet algorithme est de

$$n \times w \times h$$

avec n le nombre de passages sur l'image pour contrôler les pixels entre deux valeurs.

Une fois, les contours bien définis par le seuillage, il reste encore une étape : l'affinage.

5 Affinage

La détection de contours a pour conséquences de générer, pour chaque contours de l'image, des points doubles : l'un correspond à la frontière d'une zone, et l'autre à la frontière de la zone voisine. L'affinage des contours consiste obtenir de un pixel d'épaisseur. Pour y parvenir, la méthode d'extraction des maxima locaux dans la direction du gradient a été utilisée.

Le pixel (m,n) est un contour horizontal si :

$$|G_v| > |G_h|$$

$$G(m,n) > S$$

$$G(m,n) \leq G(m-1,n) \text{ et } G(m,n) > G(m+1,n)$$

avec :

- G_v le gradient vertical,
- G_h le gradient horizontal,
- G le module du gradient,
- S le seuil.

Le pixel (m,n) est un contour vertical si :

$$|G_h| > |G_v|$$

$$G(m,n) > S$$

$$G(m,n) \geq G(m,n-1) \text{ et } G(m,n) > G(m,n+1)$$

Si un point n'est pas un maximum local, il peut être supprimé. C'est grâce à cette méthode que nous éliminons entre autre les points doubles générés par l'étape de détection. La complexité de l'algorithme d'affinage revient toujours à l'ordre d'un parcours de l'image.



FIGURE 25 – affinage du seuillage Hysteresis (figure 24)

6 Conclusion